

Fig. 1

B.G. Goodman, et al.
TUC920040001US1
2/9

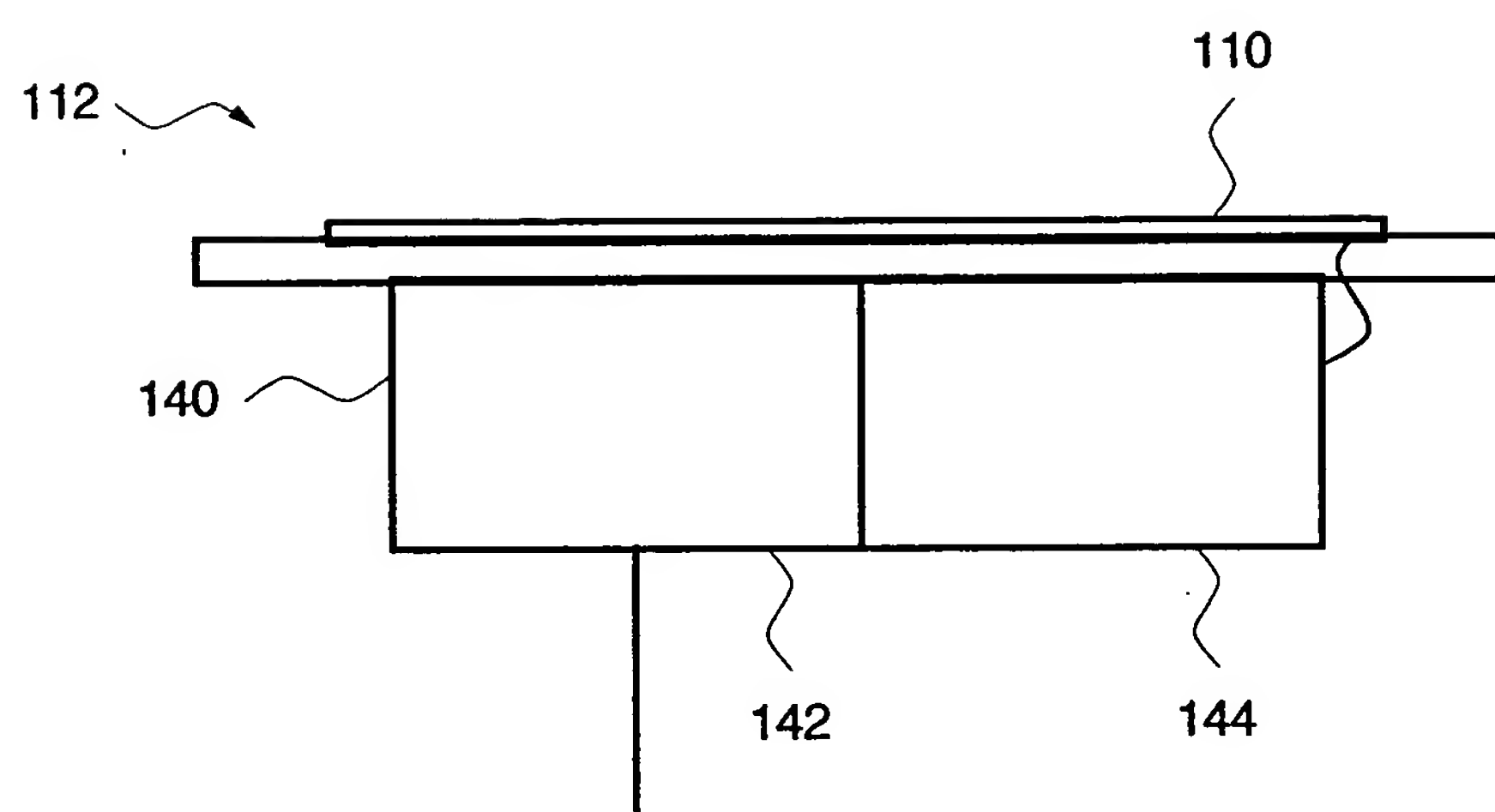


Fig. 2

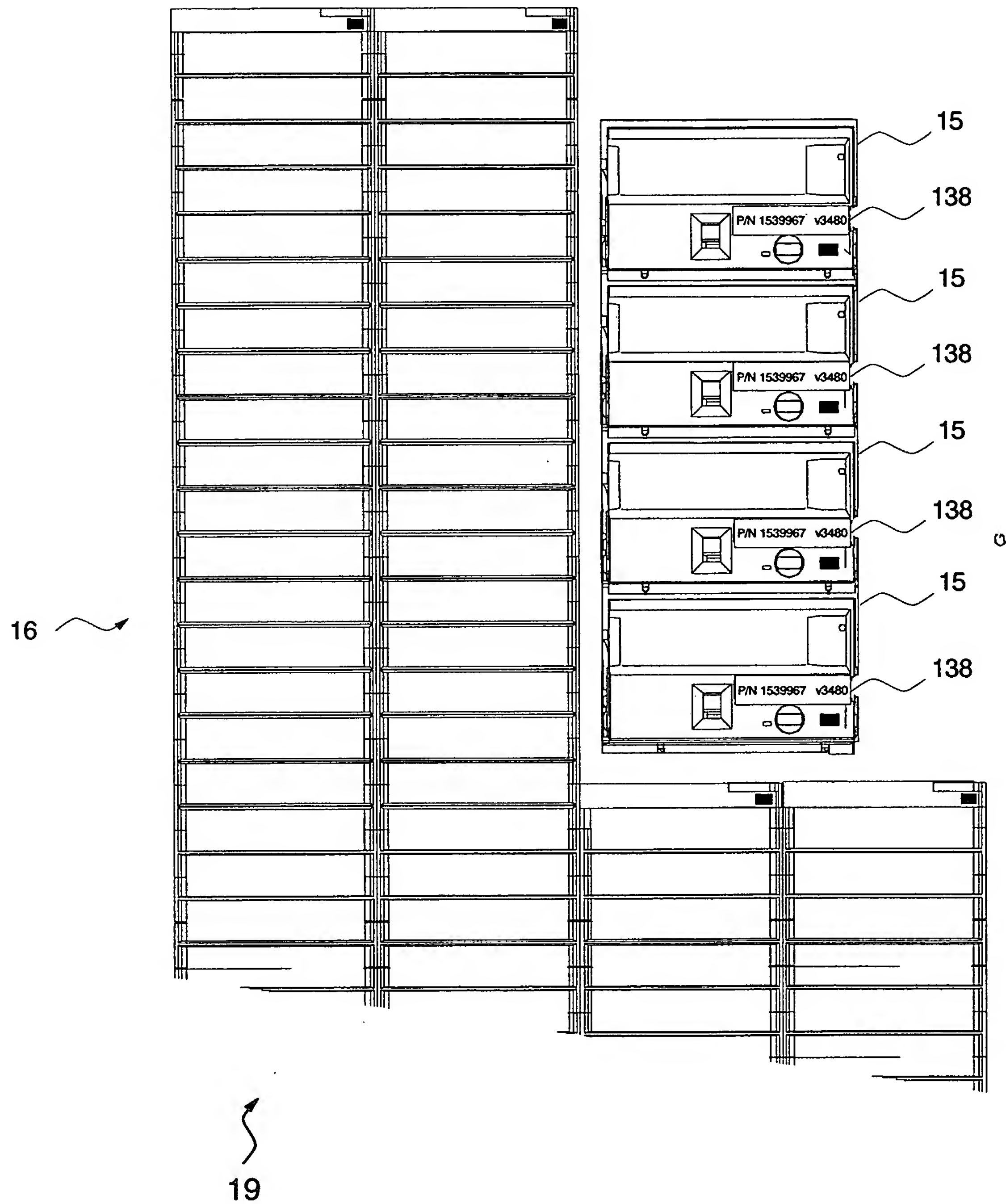


Fig. 3

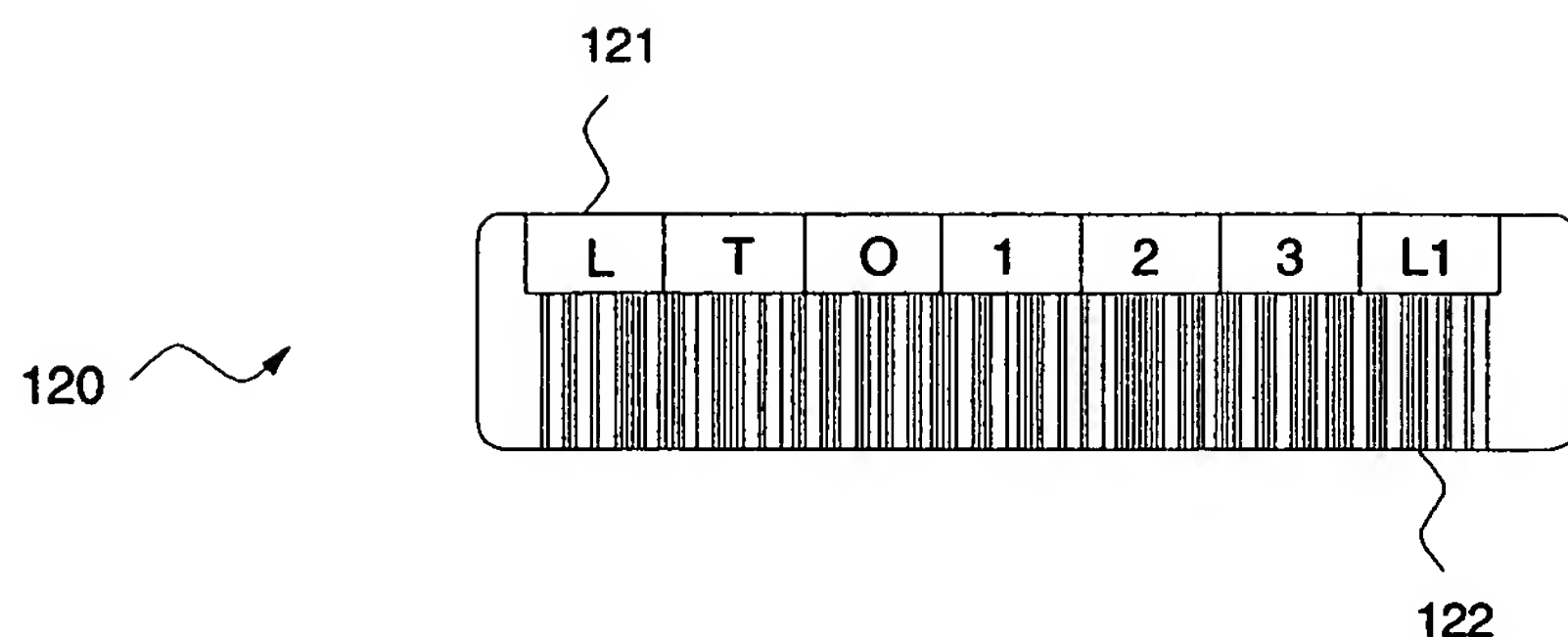


Fig. 4A

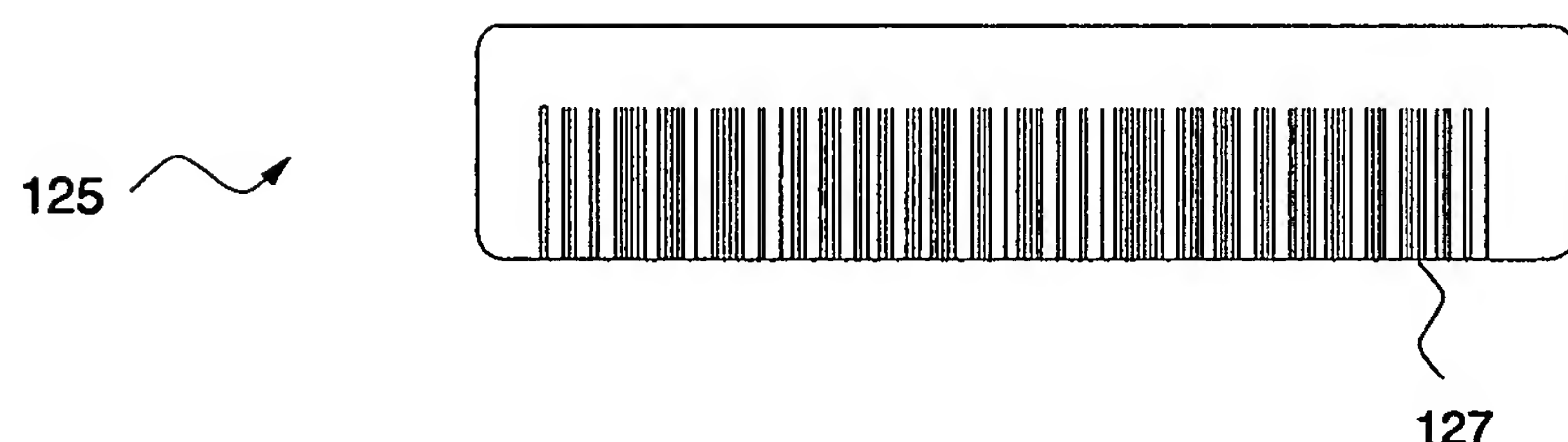


Fig. 4B

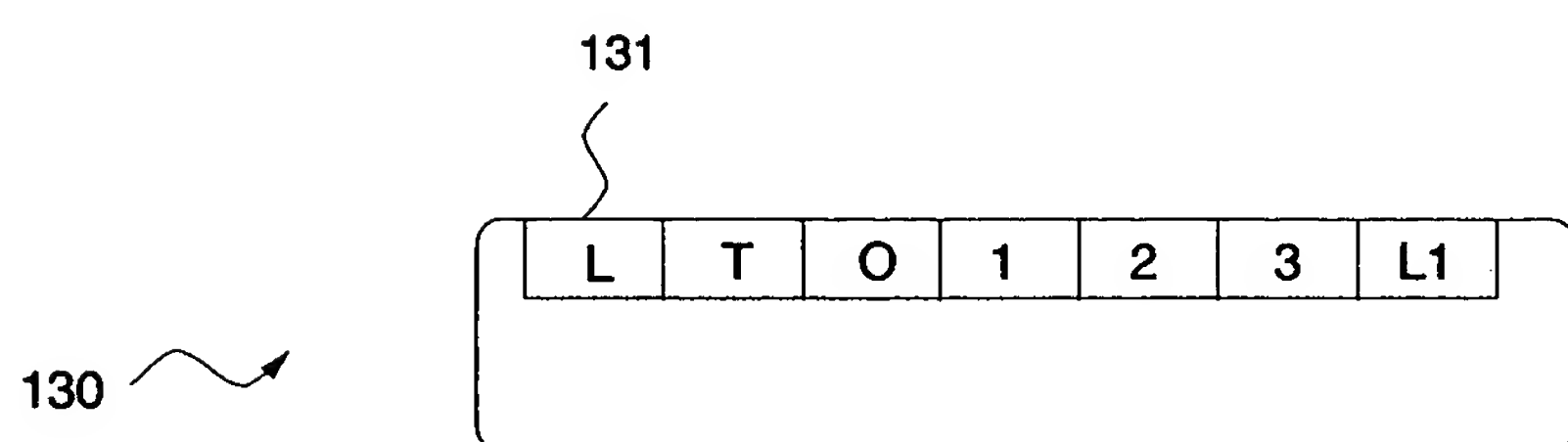


Fig. 4C

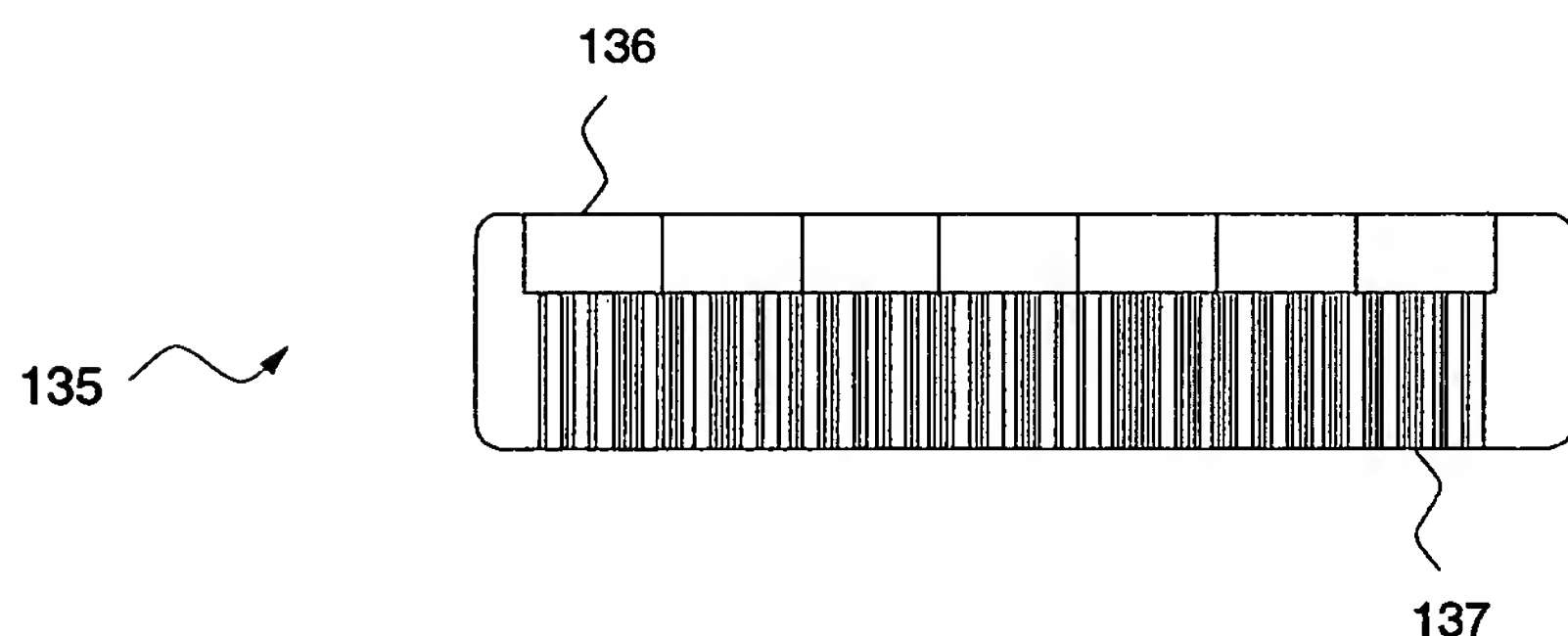


Fig. 4D

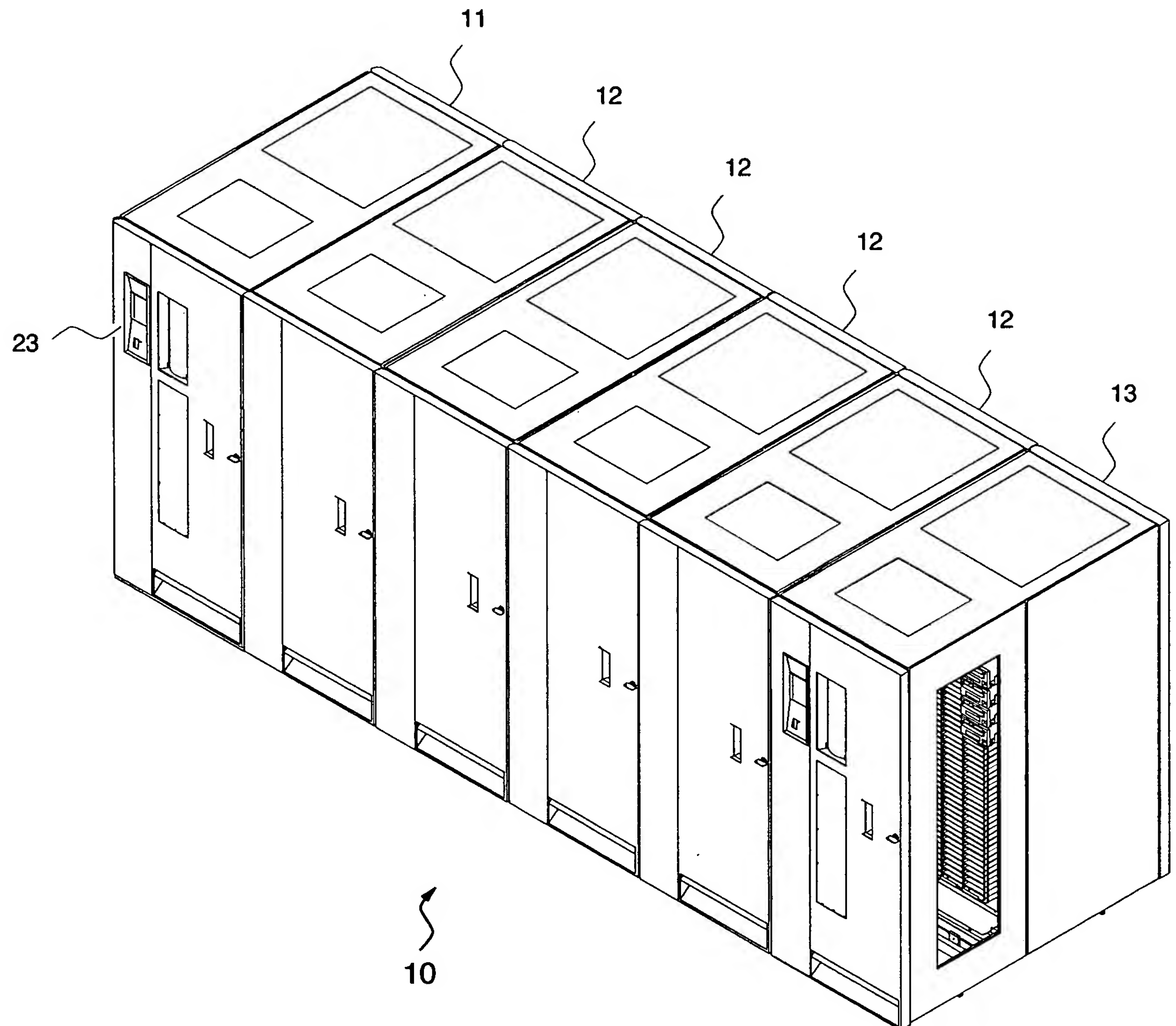


Fig. 5

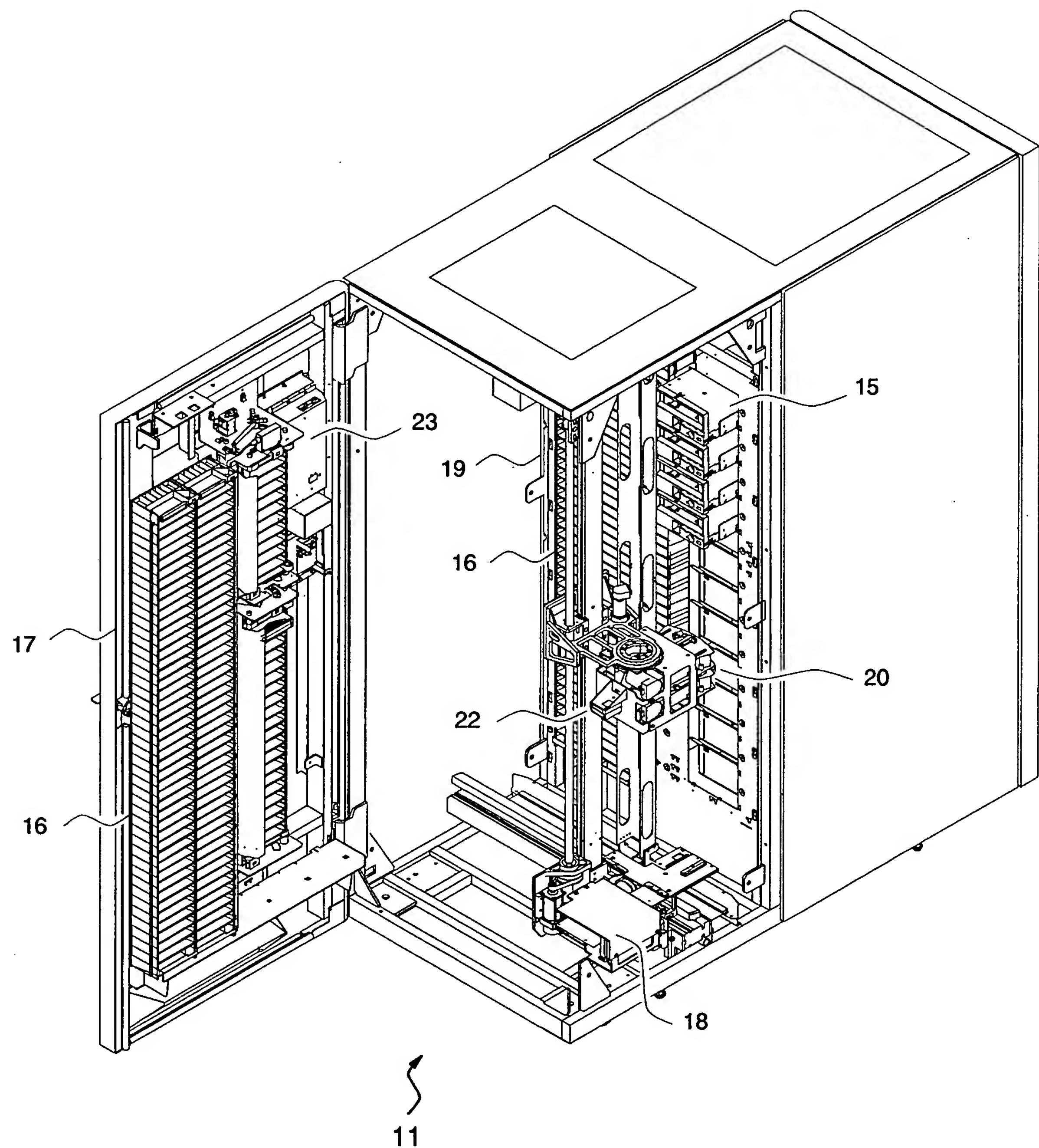


Fig. 6

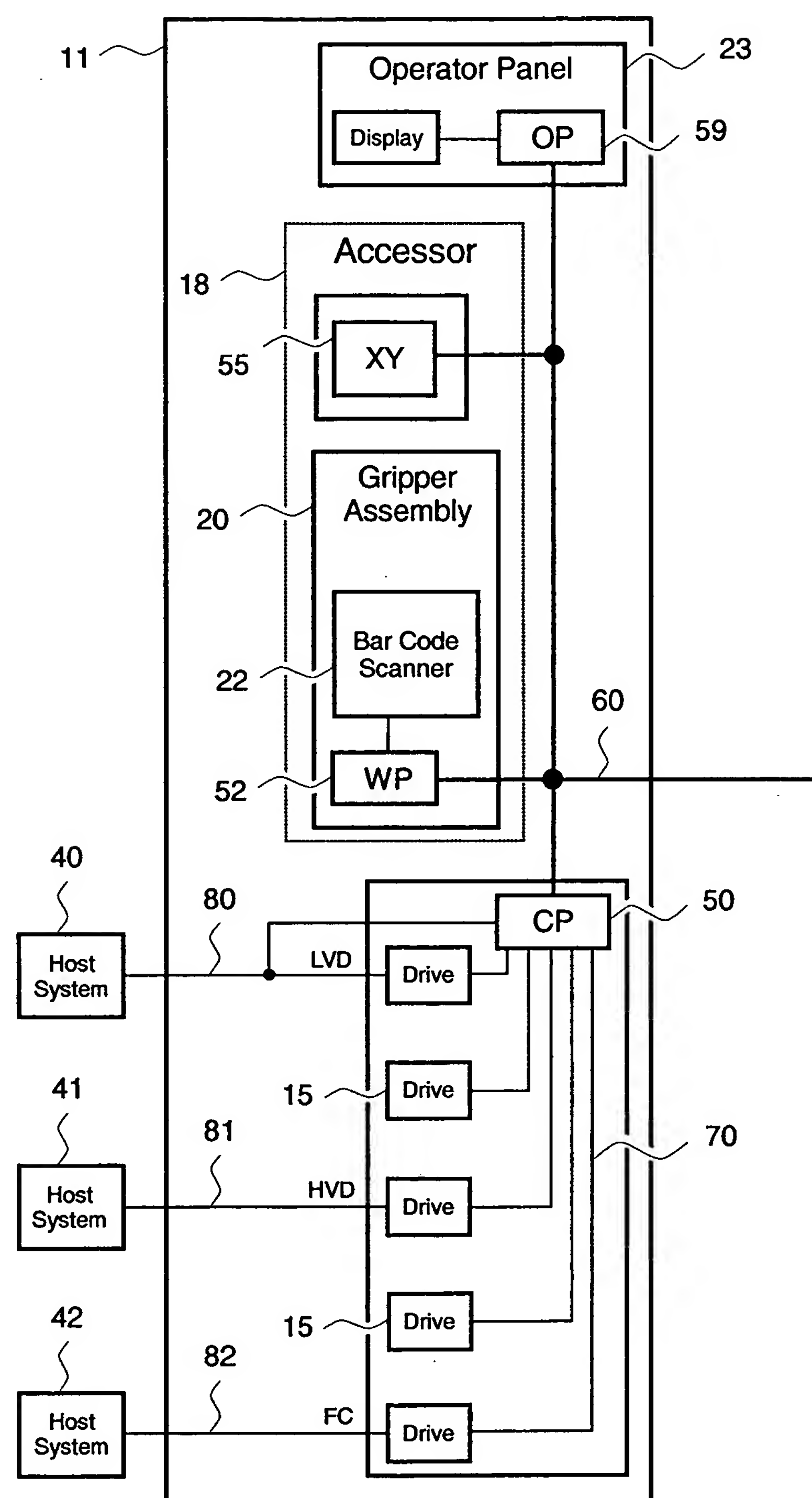


Fig. 7

B.G. Goodman, et al.
TUC920040001US1
8/9

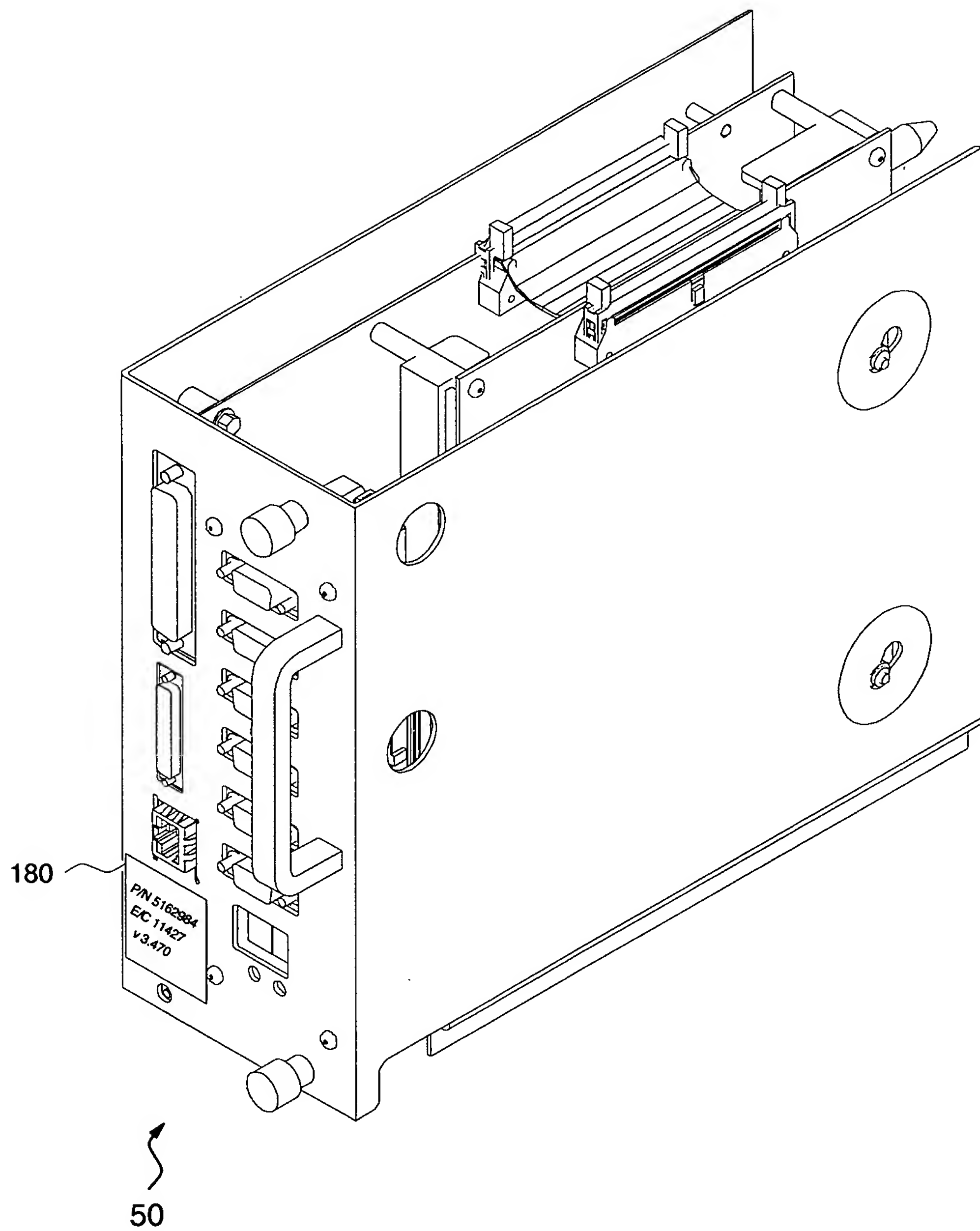


Fig. 8

B.G. Goodman, et al.
TUC920040001US1
9/9

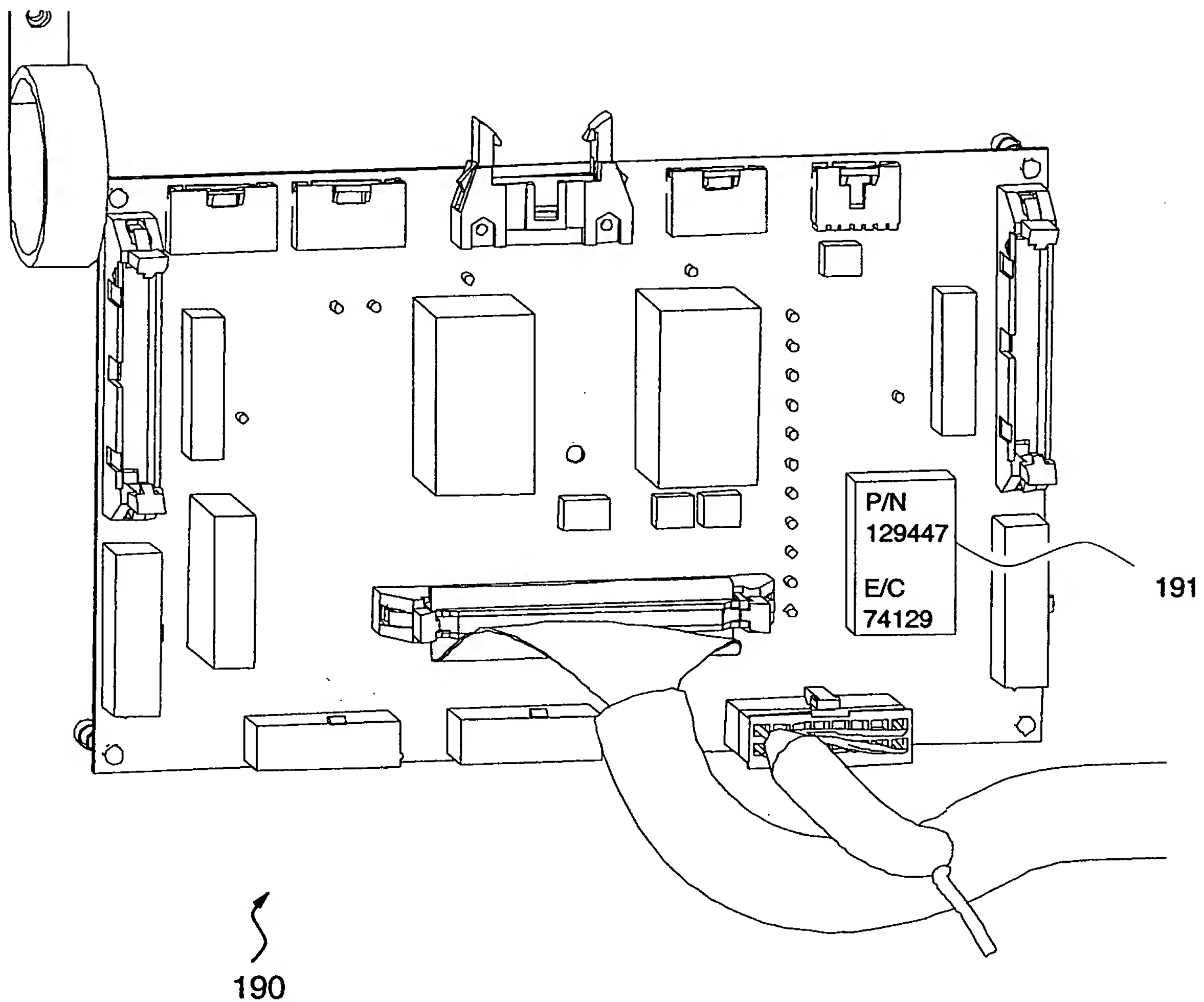


Fig. 9